

طراحی کنترل کننده ثانویه پایه ریزی شده بر روی کنترل اشتراکی توزیع شده منابع تولید پراکنده با رویکرد سیستم‌های چندعامله با در نظر گرفتن حمله سایبری منع سرویس

عبدالله میرزاییگی، علی کاظمی، مهدی رضانی و سیدمحمد عظیمی

چکیده: امروزه در بسیاری از روش‌های کنترلی از اطلاعات سیستم همجوار به منظور کنترل بهتر و سنکرون سازی بین واحدهای مختلف استفاده می‌شود و بنابراین در دسترسی و انتقال اطلاعات از طریق لینک‌های ارتباطی، مشکلاتی مانند اختلال، عدم قطعیت، نویز، تأخیر و حمله‌های سایبری به وجود می‌آید. در این مقاله اثر حمله سایبری منع سرویس (DoS) بر ریزشبه که در حالت جزیره‌ای بررسی و کنترل کننده سلسله مراتبی توزیع شده اشتراکی با حضور این حمله سایبری طراحی گردیده است. منابع تولید پراکنده به کمک سیستم‌های چندعامله و شبکه ارتباطی بین آنها با استفاده از تئوری گراف تحلیل شده است. اثرات این حمله سایبری در کنترل منابع تولید پراکنده، فرمول بندی ریاضی شده و در اثبات پایداری و سنکرون سازی فرکانس و ولتاژ، تابع لیاپانوف مناسب ارائه گردیده و تحلیل پایداری در برابر این حمله سایبری انجام شده و همچنین شرایط پایداری و سنکرون سازی اثبات گردیده است. به منظور تأیید مباحث تئوری ارائه شده، یک مدل نمونه با وجود حمله سایبری منع سرویس در لینک‌های ارتباطی در محیط متلب/سیمولینک شبیه سازی گردیده است. نتایج در شرایط مختلف، کارایی کنترل کننده طراحی شده را تحت شرایط معینی به خوبی نشان می‌دهند.

کلیدواژه: منابع تولید پراکنده، حمله سایبری منع سرویس، سیستم‌های چندعامله، کنترل سلسله مراتبی توزیع شده اشتراکی، کنترل کننده ثانویه.

اختصارات

x_{dq} : پارامتر x در مرجع dq

x_q : مؤلفه q مرجع dq

x_d : مؤلفه d مرجع dq

A_G : ماتریس انتقال در گراف

$E(G)$: ماتریس لینک ارتباطی

A : ماتریس سیستم

A^c : ماتریس سیستم با DoS^۱

این مقاله در تاریخ ۲ تیر ماه ۱۴۰۱ دریافت و در تاریخ ۳ مهر ماه ۱۴۰۱ بازنگری شد. عبدالله میرزاییگی، دانشکده مهندسی برق، دانشگاه تفرش، تفرش، ایران، (email: mirzabeigi@acecr.ac.ir)
علی کاظمی (نویسنده مسئول)، دانشکده مهندسی برق، دانشگاه تفرش، تفرش، ایران، (email: kazemy@tafreshhu.ac.ir)
مهدی رضانی، دانشکده ریاضی، دانشگاه تفرش، تفرش، ایران، (email: ramezani@tafreshhu.ac.ir)
سیدمحمد عظیمی، دانشکده مهندسی برق، دانشگاه صنعتی همدان، همدان، ایران، (email: azimi@hut.ac.ir)

$x(t)$: حالت سیستم بدون حمله
 G : ماتریس اتصال به اسلک^۲
 L : ماتریس لاپلاسین
 g_i : بهره اتصال^۳
 a_{ij} : درایه‌های ماتریس مجاورت
 P_i : توان اکتیو متوسط
 Q_i : توان راکتیو متوسط
 \tilde{p}_i : توان اکتیو لحظه‌ای
 \tilde{q}_i : توان راکتیو لحظه‌ای
 v_{oi} : ولتاژ خروجی DG_i
 ω_{oi} : فرکانس زاویه‌ای خروجی DG_i
 i_{oi} : جریان خروجی DG_i
 V_{ni}^* : ولتاژ خروجی کنترل کننده ثانویه
 ω_{ni}^* : فرکانس خروجی کنترل کننده ثانویه
 v_{oi}^* : ولتاژ خروجی کنترل کننده اولیه
 ω_{oi}^* : فرکانس زاویه‌ای کنترل کننده اولیه
 f : فرکانس
 ω_{com} : فرکانس زاویه‌ای در چارچوب معمول
 i_l : جریان خروجی بار
 ω_c : فرکانس قطع فیلتر پایین گذر
 v_{ref} : ولتاژ مرجع
 ω_{ref} : فرکانس زاویه‌ای مرجع
 v_b : ولتاژ باس
 u_v : سیگنال کنترل کمکی^۴ ولتاژ
 u_ω : سیگنال کنترل کمکی فرکانس
 C_v : بهره کنترلی ولتاژ
 m_{p_i} : ضریب دروپ فرکانس
 n_{q_i} : ضریب دروپ ولتاژ
 δ : سیگنال عدم تطابق
 e_{vi} : خطای ردیابی محلی^۵ ولتاژ
 $e_{\omega i}$: خطای ردیابی محلی فرکانس

2. Slack Bus
3. Pinning Gain
4. Auxiliary Control
5. The Local Neighborhood Tracking Error

ولی کنترل کننده‌ها از اطلاعات واحدهای همجوار نیز استفاده می‌کنند و بنابراین نیاز به سیستم‌های ارتباطی دارند. کنترل کننده سلسله‌مراتبی در چند لایه، مقادیر ولتاژ، فرکانس و توان را به مقادیر مطلوب می‌رساند. با استفاده از این استراتژی کنترلی، کل ساختار کنترلی به سه سطح اولیه^۹، ثانویه^{۱۰} و ثالثیه^{۱۱} می‌شود. کنترل کننده اولیه به صورت داخلی و اغلب دروپ^{۱۲} است. کنترل کننده‌های دروپ با انجام عمل تقسیم توان بین منابع تولید پراکنده، توان مورد نیاز بار را تقسیم می‌کنند. مزیت اصلی دروپ این است که امکان اختلال یا حمله سایبری از بیرون وجود ندارد، اما مشکل اصلی آن انحراف مقادیر خروجی آن از مرجع است. در این کنترل کننده، کنترل فرکانس توسط توان اکتیو و کنترل ولتاژ توسط توان راکتیو انجام می‌گردد. بازنشانی فرکانس و ولتاژ ورودی دروپ به مقدار نامی در صورت تغییرات و اغتشاشات، هم‌زمان کردن ریزش‌بکه با شبکه اصلی برای حالت انتقال از مد جزیره‌ای به مد متصل به شبکه، حذف هر گونه خطای حالت دائمی با کمک کنترل کننده اولیه، سنکرون‌سازی هنگام تبدیل حالت وصل به شبکه به حالت جزیره‌ای و کنترل DGها، از کاربردهای اصلی کنترل کننده ثانویه است. در کنترل کننده ثانویه، خروجی کنترل کننده به دروپ ارسال می‌گردد تا خطای حالت ماندگار صفر شود و سنکرون‌سازی به درستی انجام گردد. قاعده اصلی کنترل کننده ثانویه، تبادل اطلاعات با DG همجوار و مقایسه با میانگین ولتاژ و فرکانس اندازه‌گیری شده و یا مقدار مرجع و سپس پایدارسازی و سنکرون‌سازی کل شبکه است. برای مشخص کردن مرجع در کنترل کننده ثانویه، معمولاً از میانگین^{۱۳} مقادیر خروجی ولتاژ و فرکانس منابع تولید پراکنده و یا مقدار توافقی^{۱۴} استفاده می‌گردد [۳] و [۴].

مقادیر مرجع فرکانس و ولتاژ برای شین اسلک یا مرجع را کنترل کننده ثالثیه ایجاد می‌کند. در شبکه‌های قدرت برای حل معادلات و به دست آوردن ولتاژها و فرکانس‌ها، انتخاب ولتاژ یک شین به عنوان مرجع ولتاژ کاملاً ضروری است که توسط کنترل کننده ثالثیه انجام می‌گیرد. این کنترل کننده، توان بین ریزش‌بکه و شبکه اصلی را نیز مدیریت کرده و به کاهش هارمونیک و انحراف در حالت وصل از جزیره‌ای به متصل به شبکه کمک می‌کند و کیفیت توان را نیز افزایش می‌دهد. در مواقع بسیاری از این کنترل کننده استفاده نمی‌شود و کنترل صرفاً از طریق کنترل کننده اولیه و ثانویه انجام می‌گردد [۵] و [۶].

اختلالات مختلفی سبب برهم‌خوردن تنظیم و یکسان‌سازی فرکانس و ولتاژ خروجی می‌گردند. برای رفع این مشکلات در ساختارهای مختلف کنترلی (اغلب برای سنکرون‌سازی)، نیاز به اطلاعات از DGهای همجوار و ارسال آنها با استفاده از لینک‌های ارتباطی است. هر کجا که کانال ارتباطی وجود داشته باشد، مشکلاتی از قبیل از بین رفتن اطلاعات، حمله سایبری، نویز خطوط، اختلال در دسترسی و غیره ایجاد می‌شود. امروزه حمله‌های سایبری مختلفی در شبکه‌های ارتباطی ایجاد شده و باعث تخریب و آسیب به سیستم‌ها می‌گردند. یکی از مهم‌ترین و متداول‌ترین حمله‌های سایبری، حمله منع سرویس است که باعث قطع شدن لینک‌های ارتباطی و بعضاً ناپایداری سیستم‌ها می‌گردد. این حمله می‌تواند در DGها نیز اتفاق بیفتد و در شرایط حمله، تثبیت فرکانس و ولتاژ و یکسان‌سازی

ϕ : متغیر کمکی کنترل کننده ولتاژ
 γ : متغیر کمکی کنترل کننده جریان
 v : گره در تئوری گراف
 L_{line} : اندوکتانس خطوط بین DGها
 R_{line} : مقاومت خطوط بین DGها
 σ : مقدار ویژه
 x^c : پارامتر x مختل شده با حمله
 $\theta^x(t)$: ماتریس حمله سایبری DoS در حالت
 $\theta^u(t)$: ماتریس حمله سایبری DoS در ورودی کنترلی
 $\theta_{jv}^x(t)$: ماتریس حمله سایبری به ولتاژ اندازه‌گیری شده
 $\theta_{io}^x(t)$: ماتریس حمله سایبری به فرکانس زاویه‌ای اندازه‌گیری شده
 $\theta_{jp}^x(t)$: ماتریس حمله سایبری به توان اکتیو اندازه‌گیری شده
 $\theta_{jv}^u(t)$: ماتریس حمله سایبری به ورودی کنترلی ولتاژ
 $\theta_{io}^u(t)$: ماتریس حمله سایبری به ورودی کنترلی فرکانس زاویه‌ای
 $\theta_{jp}^u(t)$: ماتریس حمله سایبری به ورودی کنترلی توان
 C_ω : بهره کنترلی فرکانس زاویه‌ای

۱- مقدمه

کاهش منابع سوخت‌های فسیلی، اثرات نامطلوب زیست‌محیطی و پایین بودن بازدهی شبکه‌های برق سنتی، تمایل به تولید برق در نزدیکی بار و در سطح شبکه توزیع با استفاده از منابع تجدیدپذیر را افزایش داده است.

یکی از راهکارهای اساسی به منظور حل مشکلات مطرح شده، استفاده از ریزش‌بکه و منابع تولید پراکنده^۱ (DG) است. فرکانس و ولتاژ، کنترل تبادل توان اکتیو و راکتیو بین واحدهای منابع تولید پراکنده و همچنین با شبکه اصلی، سنکرون‌سازی ریزش‌بکه با شبکه اصلی^۲، مدیریت انرژی و بهینه‌سازی اقتصادی، پارامترهای مهمی هستند که در منابع تولید پراکنده باید کنترل شوند [۱].

یک ریزش‌بکه در دو حالت وصل به شبکه^۳ و جزیره‌ای^۴ می‌تواند مورد بهره‌برداری قرار بگیرد. در حالت وصل به شبکه، کنترل اغلب از طریق شبکه اصلی انجام می‌گردد. کنترل کننده‌هایی که در حالت جزیره‌ای طراحی می‌گردند باید تنظیم و یکسان‌سازی مقادیر ولتاژ و فرکانس خروجی همه منابع را انجام دهند. در حالت کلی^۴ روش کنترلی مختلف برای ریزش‌بکه وجود دارد: (۱) کنترل متمرکز^۵، (۲) کنترل غیر متمرکز^۶، (۳) کنترل توزیع شده^۷ و (۴) کنترل سلسله‌مراتبی^۸. کنترل کننده متمرکز از یک کنترل کننده مرکزی استفاده می‌کند و اطلاعات همه واحدها به این کنترل کننده ارسال و کنترل به صورت یکپارچه انجام می‌شود. در کنترل کننده غیر متمرکز برای هر واحد، کنترل کننده جداگانه طراحی می‌گردد و عملاً کنترل کننده‌ها و واحدهای مختلف، ارتباطی با هم ندارند و هر واحد توسط کنترل کننده خودش مدیریت می‌شود [۲]. در روش کنترلی توزیع شده، برای هر واحد کنترل کننده مجزا در نظر گرفته می‌شود

1. Distributed Generation
2. Main Grid
3. Grid Connected Mode
4. Islanded Mode
5. Centralized Control
6. Decentralized Control
7. Distributed Control
8. Hierarchical Control

9. Primary Control
10. Secondary Control
11. Tertiary Control
12. Droop Controller
13. Averaging
14. Consensus

حمله بر پایداری و سنکرون سازی تحلیل گردد و شرایط سنکرون سازی و پایدارسازی به دست آید. برای بررسی دقیق تر حملات سایبری، سیستم به صورت یک شبکه NCS و در دو لایه سایبری و فیزیکی در نظر گرفته می شود و برای سنکرون سازی از دیدگاه سیستم های چندعامله استفاده گردیده است. به منظور کنترل اثرات حمله DoS از کنترل کننده ثانویه بر پایه کنترل کننده سلسله مراتبی اشتراکی توزیع شده^۳ استفاده گردیده است. تفاوت اصلی این مقاله با کارهای مشابه قبلی آن است که در این مقاله، منابع تولید پراکنده به صورت سیستم های چندعامله و در نظر گرفتن حمله DoS در روابط کنترل کننده بحث گردیده و تابع لیاپانوف مناسب ارائه و همچنین شرایط سنکرون سازی همه منابع تولید پراکنده اثبات شده است. نوآوری های این مقاله به اختصار به شرح زیر است:

- (۱) مدل سازی و فرمول بندی حمله سایبری منع سرویس در مدل منابع تولید پراکنده با در نظر گرفتن به صورت سیستم های چندعامله
 - (۲) بررسی پایداری سیستم ریزشبکه با معرفی تابع لیاپانوف جدید با حضور حملات سایبری منع سرویس و به دست آوردن شرایط پایداری سیستم
 - (۳) طراحی و شبیه سازی کنترل کننده ثانویه در منابع تولید پراکنده با در نظر گرفتن حمله سایبری منع سرویس
 - (۴) بررسی سنکرون سازی همه منابع تولید پراکنده و به دست آوردن شرایط سنکرون سازی
 - (۵) مشخص کردن انعطاف پذیری سیستم در برابر حمله منع سرویس
 - (۶) بررسی اثر حمله سایبری DoS در کنترل کننده ثانویه
- در بخش دوم مدل دینامیکی منابع تولید پراکنده و در بخش سوم تئوری گراف بحث می گردد. در بخش چهارم روش کنترلی طراحی شده مورد مطالعه قرار می گیرد. در بخش پنجم بررسی انواع حملات سایبری و فرمول بندی حمله سایبری DoS در منابع تولید پراکنده و در بخش ششم تابع لیاپانوف و شرایط پایداری آمده است. در بخش هفتم شبیه سازی و نهایتاً در بخش هشتم نتیجه گیری ارائه گردیده است.

۲- مدل دینامیکی منابع تولید پراکنده

مدل استفاده شده در این مقاله به صورت مدل ۱۳ حالتی (۱) در نظر گرفته شده که یک مدل غیر خطی است و به طور کامل همه جزئیات را در بر می گیرد [۲۸]

$$\begin{cases} \dot{x}_i = f_i(x_i) + k_i(x_i)D_i + g_i(x_i)u_i \\ y_i = h_i(x_i) \\ x_i = [\delta_i \ P_i \ Q_i \ \phi_{dq} \ \phi_{qi} \ \gamma_{di} \ \gamma_{qi} \ i_{ldi} \ i_{lqi} \ v_{odi} \ v_{oqi} \ i_{odi} \ i_{oqi}]^T \\ D_i = [\omega_{com} \ v_{bdi} \ v_{bqi}]^T \end{cases} \quad (1)$$

که δ_i زاویه چارچوب مرجع DG_i با چارچوب مرجع معمول، P_i و Q_i توان متوسط اکتیو و راکتیو خروجی، ϕ_{dq} متغیر کمکی در کنترل کننده ولتاژ، و γ_{di} متغیر کمکی در کنترل کننده جریان و v_{odi} و i_{ldq} به ترتیب مقادیر جریان و ولتاژ خروجی و جریان بار هستند. مقادیر ورودی کنترلی و خروجی $u_i = (V_{ni}^* \ \omega_{ni}^*)^T$ و $y_i = (v_{odi} \ \omega_{odi})^T$ می باشند. جزئیات مقادیر (۱) در [۲۸] آمده است.

توجه: با توجه به معلوم بودن پارامترهای منابع تولید پراکنده، این

آنها ضروری است [۷].

بررسی حمله های سایبری در مراجع زیادی بر روی سیستم های مختلف بررسی گردیده و طی چند سال گذشته، کارهای پژوهشی زیادی در زمینه امنیت سایبری سیستم های کنترل صنعتی و زیرساخت های حیاتی توسط متخصصین رشته کنترل و سایر رشته های مرتبط ارائه شده است [۸] تا [۱۰]. در [۱۱] طریقه وارد شدن و اثرات حملات سایبری در سیستم ها آمده و انواع روش های حمله های سایبری در [۱۲] و [۱۳] شرح داده شده است. در [۱۴] حمله سایبری به سنسورها و عملگرها بر روی سیستم های چندعامله^۱ بحث گردیده است. در [۱۵] تا [۱۷] اثر حمله DoS و نحوه شناسایی آن در سیستم NCS مورد بررسی و ارزیابی قرار گرفته و بحث حمله های سایبری بر روی ریزشبکه نیز در مراجع مختلفی انجام شده است [۱۸] تا [۲۱]. در [۲۱] اثر از بین رفتن دیتا در ریزشبکه بررسی گردیده و همچنین تأخیر در اثر این حمله مورد ارزیابی قرار گرفته است. در [۲۲] پایداری سیستم با در نظر گرفتن حمله DoS به همراه جزئیات این حمله مورد بحث قرار گرفته است. در [۲۳] حمله سایبری DoS به صورت مسدود شدن موقت کانال مخابراتی و تأخیری در یک ریزشبکه در نظر گرفته شده و اثر آن بر سیستم ها نشان داده شده است. البته بررسی حمله به صورت تأخیر با واقعیت حمله سازگاری ندارد، اما در مقاله ارائه شده، این حمله به صورت مسدود شدن کانال است. در [۲۴] برای از بین بردن اثر حمله سایبری منع سرویس در ریزشبکه از کنترل کننده غیر متمرکز و با دیدگاه سیستم های چندعامله استفاده گردیده است. در [۲۵] اثر حمله های سنسوری، ربودن اطلاعات و منع سرویس بر روی کنترل کننده ثانویه نشان داده شده است، اما درباره پایداری و سنکرون سازی آن بحث و تحلیل نشده است. در [۲۶] از کنترل کننده توزیع شده برای کنترل ریزشبکه و رفع اثر حمله DoS استفاده گردیده و با استفاده از کنترل کننده توزیع شده به صورت استفاده از میانگین خروجی ها به عنوان مرجع و با وجود محدودیت بار توانی ثابت، اثر حمله تحلیل گردیده است. تفاوت مقاله ارائه شده با [۲۶] این است که در [۲۶] برای از بین بردن اثر حمله از میانگین ولتاژ و فرکانس استفاده شده و در مقاله ارائه شده از مرجع استفاده گردیده است. استفاده از میانگین، علی رغم این که اثر حمله را از بین می برد ممکن است باعث شود که خروجی ها از مقدار مرجع فاصله بگیرند و به سمت مقدار میانگین بازایی شوند. در [۲۷] اثر حمله سایبری DoS در ریزشبکه برای فرکانس با استفاده از روش کنترل کننده ثانویه و با در نظر گرفتن مرجع توانی تحلیل شده است، اما بررسی در مورد ولتاژ صورت نگرفته و با استفاده از این روش، ولتاژ بازایی نمی گردد. در اکثر پژوهش های انجام شده مباحث پایداری، توابع لیاپانوف، مقاوم بودن و سنکرون سازی به اختصار بررسی شده اند. یکی از اصلی ترین اهداف در تحقیقات حمله های سایبری آن است که کنترل کننده به نحوی طراحی شود که رنج وسیع تری از حملات را تحمل کند. انتخاب و طراحی کنترل کننده مناسب با توجه به نوع حمله سایبری و شرایط آن انجام می گردد.

در اکثر منابع، دیدگاه پایداری و سنکرون سازی در نظر گرفته نشده و همچنین تحلیل پایداری با حضور حمله سایبری DoS وجود ندارد. برای تحلیل باید ابتدا معادلات ریاضی ریزشبکه به همراه حمله استخراج شده و سپس اثر حمله در پایداری ارزیابی گردد. نهایتاً سیستم باید با طراحی کنترل کننده، پایدار و هماهنگ شود. در این مقاله سعی شده که اثرات این

در این مقاله فرض شده که توپولوژی ثابت و درخت ریشه دار پیوسته^۷ بوده و به صورت $G(v, E, A_G)$ نشان داده می شود. گراف به صورت زیر در نظر گرفته می شود

$$G = (V(G), E(G)) \quad (2)$$

$A_G \subset R \times R$ و $E(G) \subset V(G) \times V(G)$ ، $V(G) = \{v_1, v_2, \dots, v_N\}$ به ترتیب گره ها^۸ (منابع تولید پراکنده)، لینک های ارتباطی و ماتریس مجاورت^۹ می باشند. درایه های ماتریس مجاورت a_{ij} ، وزن ضلع های گراف گراف هستند که اگر گراف i ام به گراف j ام اطلاعات بدهد، یک و در غیر این صورت صفر در نظر گرفته می شوند. محل اتصال گره ها به یکدیگر به صورت $(v_j, v_i) \in E(G)$ است. ماتریس G را غیر مستقیم^{۱۰} در نظر می گیرند اگر

$$\begin{aligned} (v_i, v_j) &\in E \\ (v_j, v_i) &\in E \\ N_i &= \{v_j \in V(G) \mid (v_j, v_i) \in E(G), i \neq j\} \end{aligned} \quad (3)$$

برای تحلیل پایداری، ماتریس Δ و لاپلاسیان L به صورت رابطه زیر تعریف می شود

$$\begin{aligned} D &= \text{diag}(\Delta_i) \\ \Delta_i &= \sum_{v_j \in N_i} a_{ij} \\ L &= D - A \end{aligned} \quad (4)$$

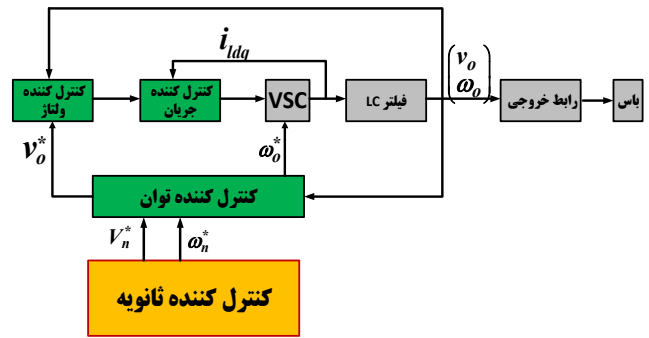
در این مقاله فرض می گردد که گراف جهت دار به صورت درخت پیوسته و ثابت است و هیچ حلقه خودی^{۱۱} در آن نیست [۴] و [۲۹].

۴- روش کنترلی طراحی شده

کنترل ریزشیکه در ۲ سطح (کنترل کننده اولیه و ثانویه) انجام می گیرد. شکل کلی منابع تولید پراکنده و کنترل کننده اولیه و ثانویه استفاده گردیده در شکل ۱ آمده است. با توجه به شکل، V_{ni}^* و ω_i^* باید توسط کنترل کننده ثانویه بازنشانی گردند تا انحراف کمتری در ورودی کنترل کننده اولیه ایجاد شود.

۴-۱ کنترل کننده اولیه

کنترل کننده های جریان، ولتاژ و توان به صورت اولیه در نظر گرفته می شوند که در شکل های ۲ و ۳ نشان داده شده اند. لازم به ذکر است که در بعضی مراجع، کنترل کننده اولیه، کنترل کننده داخلی DG در نظر گرفته می شود. نکته دیگر این که دروپ ولتاژ و فرکانس تا اندازه زیادی مجزا بوده و طراحی کنترل کننده دروپ ولتاژ و فرکانس به صورت جداگانه انجام می شود. خروجی کنترل کننده ثانویه $(V_{ni}^* \ \omega_{ni}^*)^T$ و خروجی DG_i $(V_{oi} \ \omega_{oi})^T$ به عنوان ورودی کنترل کننده اولیه است. در کنترل کننده توان که در شکل ۲ نشان داده شده است، ابتدا با استفاده از خروجی های منابع تولید پراکنده، توان لحظه ای از (۵) به دست می آید و با عبور این توان از یک فیلتر پایین گذر با (۶)، توان متوسط به صورت $(P \ Q)^T$ حاصل می شود



شکل ۱: منبع تولید پراکنده به همراه کنترل کننده اولیه و ثانویه.

سیستمها مبتنی بر مدل^۱ در نظر گرفته می شوند. در این مدل سازی، قسمت های مختلف شامل منابع توزیع شده، قسمت های اندازه گیری، شبکه اصلی، قسمت های کنترلی و قسمت مخابراتی، بلوک های کنترل کننده توان، کنترل کننده ولتاژ و جریان، فیلتر LC و بار خروجی در نظر گرفته شده و از بین مدل های مختلف DGها، کامل ترین مدل است [۳]، [۵]، [۶] و [۲۸] تا [۳۰].

۳- تئوری گراف

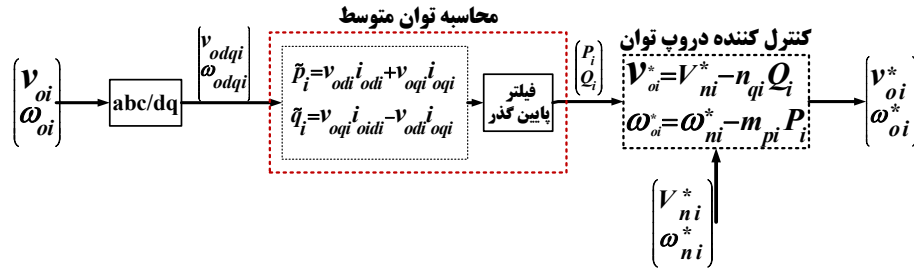
برای تحلیل ریزشیکه و پایداری و سنکرون سازی در این مقاله از تئوری گراف^۲ استفاده گردیده است. در سیستم های چندعامله، سیگنال کنترلی با توجه به مقداری که از اطلاعات همسایه گرفته می شود، طراحی می گردد. برای سیستم های چندعامله، چند قانون اصلی (قوانین رینولد^۳) وجود دارد: (۱) اجتناب از برخورد با همسایگان، (۲) تطبیق حرکت با بقیه گروه و (۳) باقی ماندن در اطراف یک مرکز [۳۱]. این قوانین در ریزشیکه نیز به طور کامل قابل پیاده سازی هستند. در این حالت هر منبع تولید پراکنده به صورت یک عامل^۴ در نظر گرفته می شود و سیستم مخابراتی با استفاده از گراف مستقیم^۵ تئوری گراف، مدل می گردد. تئوری گراف مشخص می کند که منابع تولید پراکنده به چه طریقی با هم در ارتباط هستند و به یکدیگر اطلاعات می دهند. در این تئوری از ماتریس مجاورت برای نشان دادن ارتباطات و همچنین در مباحث پایداری و تابع لیاپانوف استفاده می شود [۳۲] و [۳۳].

تعاریف

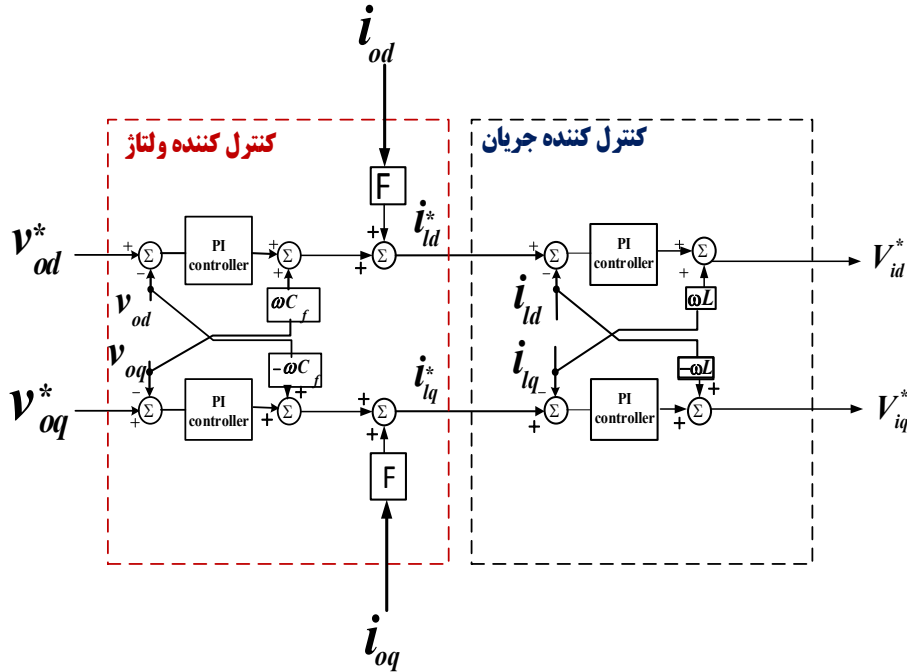
گراف پیوسته: گرافی است که در بین دو گره آن حداقل یک مسیر وجود دارد.
گره ریشه: گرهی است که از آن گره با یک گراف مستقیم بتوان به گره های دیگر رسید.
گره سردسته: گرهی که از گره دیگری مقدار نمی گیرد و مقدار اصلی را مشخص می کند.
درخت: یک گراف پیوسته که هیچ حلقه ای ندارد.
درخت ریشه دار: درختی که یک رأس آن ریشه است که مقدار مرجع را نیز مشخص می کند.

7. Spinning Tree
 8. Node
 9. Adjacency Matrix
 10. Indirected
 11. Self-Loop

1. Model Base
 2. Graph Theory
 3. Reynold
 4. Agent
 5. Direct Graph
 6. Leader



شکل ۲: کنترل کننده توان در کنترل کننده اولیه.



شکل ۳: کنترل کننده ولتاژ و جریان در کنترل کننده اولیه.

بلوک دیاگرام کنترل کننده ولتاژ و جریان در شکل ۳ آمده و در کنترل کننده ولتاژ و جریان از کنترل کننده PI استفاده گردیده است. کنترل کننده ولتاژ، مرجع جریان‌ها را مشخص می‌نماید و خروجی آن به عنوان ورودی‌های مرجع وارد کنترل کننده جریان می‌شود.

۴-۲ کنترل کننده ثانویه

شکل ۴ طرح کلی کنترل کننده ثانویه را نشان می‌دهد. در این مقاله، کنترل کننده ثانویه با استفاده از روش خطی‌سازی فیدبک طراحی شده است. هدف اصلی در طراحی این کنترل کننده، اعمال ورودی کنترلی مناسب $(V_{ni}^* \ \omega_{ni}^*)^T$ به کنترل کننده اولیه برای پایداری و سنکرون‌سازی سیستم است. با استفاده از روش خطی‌سازی فیدبک از (۷) و (۸) مشتق گرفته می‌شود و آن را برابر با ورودی کنترلی قرار می‌دهیم و ورودی کنترلی را به نحوی طراحی می‌کنیم که خطا به سمت صفر میل کند. بنابراین نتیجه به صورت (۹) درمی‌آید [۴]

$$\begin{cases} \dot{v}_{odi}^* = \dot{V}_{ni}^* - n_{qi} \dot{Q}_i = u_{vi} \\ \dot{\omega}_{oi}^* = \dot{\omega}_{ni}^* - m_{pi} \dot{P}_i = u_{oi} \end{cases} \quad (9)$$

در معادله بالا، u_{vi} و u_{oi} به ترتیب سیگنال کنترلی کمکی ولتاژ و جریان در روش خطی‌سازی فیدبک سیستم‌های چندعامله هستند. به منظور پایداری سیستم و با توجه به این که سیستم به صورت چندعامله در نظر گرفته شده است، ورودی کنترلی به صورت (۱۰) با استفاده از خطاهای دنبال‌سازی در نظر گرفته می‌شود [۳۱]

$$\begin{cases} \tilde{p}_i = v_{odi} i_{odi} + v_{oqi} i_{oqi} \\ \tilde{q}_i = v_{oqi} i_{odi} - v_{odi} i_{oqi} \end{cases} \quad (5)$$

$$P_i = \frac{s}{s + \omega_c} \tilde{p}_i \quad (6)$$

$$Q_i = \frac{s}{s + \omega_c} \tilde{q}_i$$

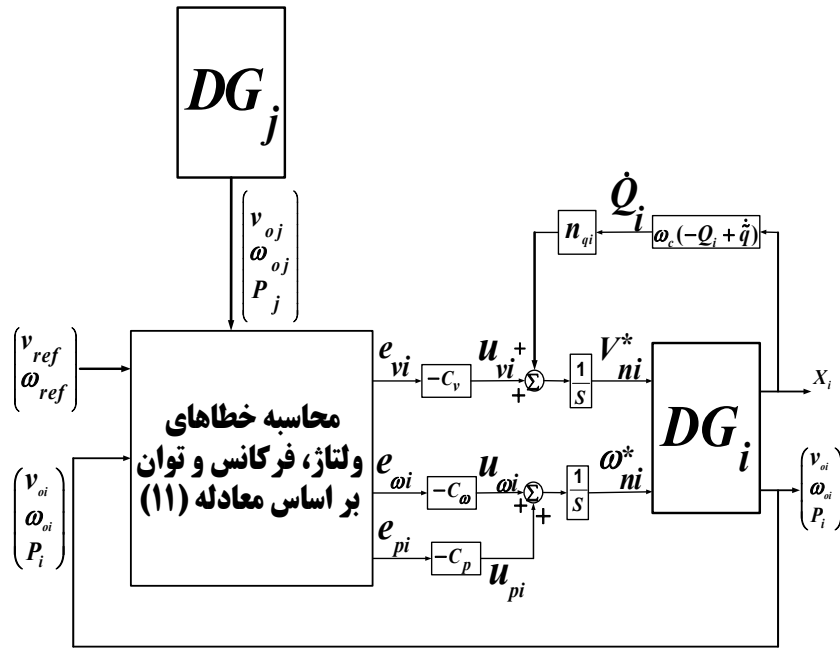
با صرف نظر از دینامیک‌های سریع سیستم و با در نظر گرفتن مدل سیستم در چارچوب dq، کنترل کننده توان در کنترل کننده اولیه به فرم زیر در نظر گرفته می‌شود [۳] و [۴]

$$\begin{cases} v_{oi}^* = V_{ni}^* - n_{qi} Q_i \\ \omega_{oi}^* = \omega_{ni}^* - m_{pi} P_i \end{cases} \quad (7)$$

معادله ولتاژ در چارچوب dq به صورت زیر درمی‌آید

$$\begin{cases} v_{odi}^* = V_{ni}^* - n_{qi} Q_i \\ v_{oqi}^* = \cdot \end{cases} \quad (8)$$

سپس با توجه به (۷)، خروجی کنترل کننده توان به دست می‌آید و خروجی v_o^* به کنترل کننده ولتاژ و ω_o^* به VSC داده می‌شود. در این معادله n_{qi} و m_{pi} ضرایب دروپ و V_{ni}^* و ω_{ni}^* مقادیرهای مرجع کنترل کننده اولیه‌اند.



شکل ۴: کنترل کننده ثانویه.

در این رابطه $e_{vi}(t)$ ، $e_{oi}(t)$ و $e_{pi}(t)$ به ترتیب خطای دینال سازی و ولتاژ، فرکانس و توان بهره کنترل ولتاژ، فرکانس و توان اکتیو هستند. خطای دینال سازی به صورت (۱۱) در سیستم‌های چندعامله می‌باشد که در سنکرون سازی، هدف این است که این خطاها صفر شوند. این خطاها با استفاده از خروجی DG و همسایه به دست می‌آیند

$$\begin{cases} e_{vi} = \sum a_{ij} (v_{i,j}(t) - v_{j,i}(t)) + g_i (v_{i,i}(t) - v_{ref}) \\ e_{oi}(t) = \sum_{j \in N_j} a_{ij} (\omega_{oi}(t) - \omega_{oj}(t)) + g_i (\omega_{oi}(t) - \omega_{ref}) \\ e_{pi} = \sum a_{ij} (m_{pi} P_i - m_{pj} P_j) \end{cases} \quad (11)$$

که $v_{i,j}(t)$ و $\omega_{oj}(t)$ ، P_j و $v_{i,i}(t)$ و $\omega_{oi}(t)$ ، P_i توان متوسط خروجی DG_j و DG_i هستند. ولتاژ و فرکانس و توان v_{ref} و ω_{ref} بهره کنترل زاویه‌ای مرجع، a_{ij} درایه‌های ماتریس مجاورت و g_i بهره اتصال می‌باشند. g_i فقط زمانی برابر یک است که DG به گره اسلک وصل باشد و در غیر این صورت صفر است.

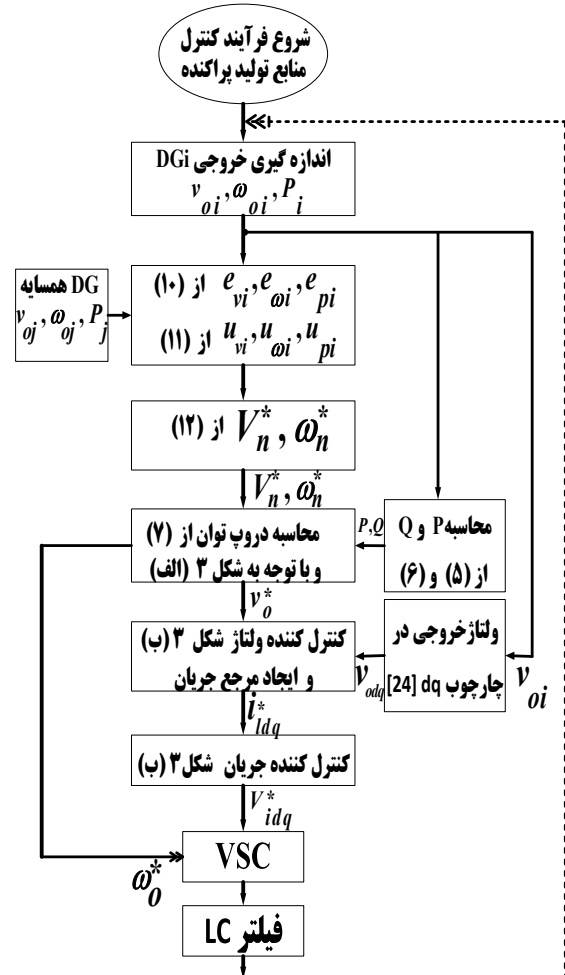
با استفاده از (۹) تا (۱۱)، سیگنال کنترلی از روش خطی سازی فیدبک به صورت (۱۲) به دست می‌آید

$$\begin{cases} \dot{V}_{ni}^* = \int (u_{vi} + n_{qi} \dot{Q}_i) dt \\ \dot{\omega}_{ni}^* = \int (u_{oi} + u_{pi}) dt \end{cases} \quad (12)$$

در (۱۲) مقدار \dot{Q}_i به صورت زیر تعریف شده است

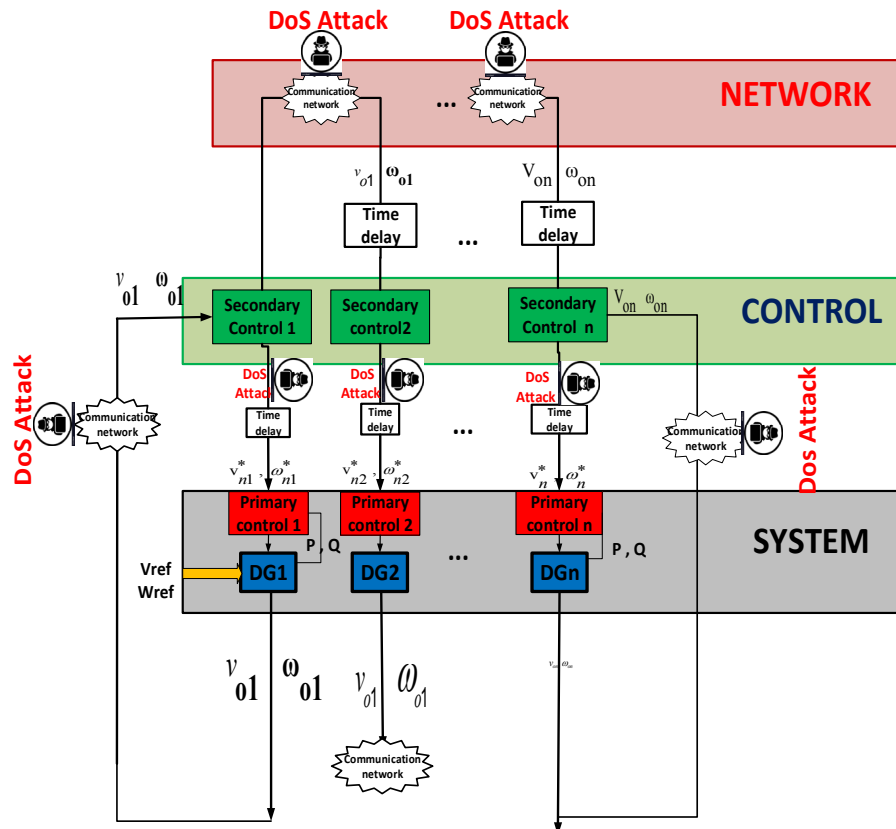
$$\dot{Q}_i = -\omega_c Q_i + \omega_c (v_{oqi} i_{odi} - v_{odi} i_{oqi}) = -\omega_c Q_i + \omega_c \dot{q} \quad (13)$$

که \dot{Q}_i مربوط به اطلاعات داخلی DG می‌باشد و بنابراین تحت تأثیر اختلالات خارجی قرار نمی‌گیرد. \dot{q} توان راکتیو لحظه‌ای، ω_c فرکانس قطع فیلتر پایین گذر و v_o و i_o ولتاژ و جریان خروجی DG_i است [۴] و [۲۸]. برای درک دقیق روش کنترلی، روندنمای طراحی شده در شکل ۵ آمده است.



شکل ۵: روندنمای کنترل کننده اولیه و ثانویه طراحی شده.

$$\begin{cases} u_{vi} = -C_v e_{vi}(t) \\ u_{oi}(t) = -C_\omega e_{oi}(t) \\ u_{pi} = m_{pi} \dot{P}_i = -C_p e_{pi}(t) \end{cases} \quad (10)$$



شکل ۶: منابع تولید پراکنده با کنترل کننده‌ها و با در نظر گرفتن حمله سایبری DoS.

حمله‌های سایبری به سه گروه کلی تقسیم می‌شوند: (۱) حمله منع سرویس (DoS)، (۲) حمله تکرار^۳ و (۳) حمله فریب^۴. حمله DoS، در دسترس بودن و حمله فریب، محرمانه بودن و یکپارچگی اطلاعات سیستم را دچار مشکل می‌کنند. در روش DoS مهاجم سعی می‌کند که کانال ارتباطی را از طریق انسداد انتقال دیتا قطع کند و باعث از بین رفتن اطلاعات شود. در حمله تکرار از خروجی‌های قبلی سیستم استفاده شده و در زمان‌های حمله به عنوان خروجی اصلی جایگزین می‌گردند. در حمله فریب به خروجی سیستم پارامتری اضافه می‌گردد و باعث اختلال در خروجی می‌شود [۱۵] و [۳۶].

با توجه به این که DGها را به صورت سیستم چندعامله در نظر گرفتیم، حمله را می‌توان به ۲ نوع دیگر نیز دسته‌بندی کرد: (۱) حمله به گره‌ها و (۲) حمله به لینک‌های مخابراتی بین عامل‌ها. در حمله به گره‌ها، حمله به سنسور و عملگر اتفاق می‌افتد (حمله به $x_i(t)$ و $u_i(t)$). در حمله به لینک‌های مخابراتی، حمله به a_{ij} یعنی ارتباط بین DGهای مختلف مطرح شده و باعث می‌گردد که در لینک مخابراتی اطلاعات صحیح منتقل نشوند.

شکل کلی منابع تولید پراکنده به همراه حمله منع سرویس و کنترل کننده مورد استفاده به صورت شکل ۶ در نظر گرفته شده است. با توجه به شکل، حمله DoS ممکن است در کنترل کننده ثانویه یا بین اولیه و ثانویه اتفاق بیفتد و سیستم مخابراتی که با استفاده از تئوری گراف مدل شده است، ممکن است که دچار حمله سایبری گردد. در این حالت، منابع تولید پراکنده به صورت یک سیستم NCS در نظر گرفته می‌شوند و به ۲ قسمت لایه سایبری و فیزیکی تقسیم می‌گردند.

توجه: طراحی ورودی کنترلی باید به نحوی باشد که همه حالت‌ها به مقدار توافقی یا مرجع برسند و سنکرون‌سازی به درستی انجام شود که این، اصلی‌ترین شرط برای برقراری قوانین رینولد است. در سنکرون‌سازی خطای حدود ۳٪ برای ولتاژ نامی و برای فرکانس نیز ۰.۳٪ قابل قبول می‌باشد، اما هدف اصلی این است که در حالت پایدار مقادیر با هم یکسان شوند و در عامل‌ها $\lim_{t \rightarrow \infty} \|x_j(t) - x_i(t)\| = 0$ گردد [۳۴] و [۳۵].

با توجه به روابط بالا برای کنترل و سنکرون‌سازی سیستم باید فرکانس، ولتاژ و توان اکتیو متوسط DG هم‌جوار را داشته باشیم. برای انتقال اطلاعات همسایه باید از کانال‌های ارتباطی استفاده گردد و در این انتقال، مشکلات مختلفی ایجاد می‌شود (از جمله حملات سایبری که بسیار در سال‌های اخیر مورد توجه بوده و در این مقاله هم در نظر گرفته شده است).

۵- انواع حملات سایبری و تأثیر در منابع تولید پراکنده

مباحث امنیتی شبکه در سه مفهوم پایه‌ای شامل محرمانگی^۱، یکپارچگی^۲ و در دسترس بودن^۳ مطرح می‌شوند. در حملات سایبری بسته به نوع حمله، یک و یا چند نوع از این مباحث از بین می‌روند. فضای حمله طبق ۳ اصل دانسته‌های^۴ مهاجم، منابع افشاش^۵ و منابع اختلال^۶ تعریف می‌شود و بسته به نوع حمله به یک و یا چند اصل از اصول بالا نیاز است.

1. Confidentiality
2. Integrity
3. Availability
4. Knowledge
5. Disclosure
6. Disruption

7. Reply Attack

8. Deception Attack

که $\theta_{jp}^x(t)$ ، $\theta_{io}^x(t)$ و $\theta_{jv}^x(t)$ به ترتیب مربوط به حمله DoS به سنسور فرکانس، ولتاژ و توان اکتیو و $\theta_{iv}^u(t)$ ، $\theta_{io}^u(t)$ و $\theta_{ip}^u(t)$ مربوط به حمله به عملگر فرکانس، ولتاژ و توان هستند. با جایگذاری (۱۸) در (۱۰) و (۱۱) ورودی کنترلی به صورت زیر به دست می آید

$$\begin{cases} u_{vi}^c = \theta_{iv}^u(t)u_{vi} \\ = -\theta_{iv}^u(t)C_v \sum a_{ij}(v_{oi} - v_{oj}^c) + g_i(v_{oi} - v_{ref}) \\ u_{oi}^c = \theta_{io}^u(t)u_{oi} \\ = -\theta_{io}^u C_\omega \sum a_{ij}(\omega_{oi} - \omega_{oj}^c) + g_i(\omega_{oi} - \omega_{ref}) \\ u_{pi}^c = \theta_{ip}^u u_{pi} = -\theta_{ip}^u C_p \sum a_{ij}(m_{pi} P_i - m_{pj} P_j^c) \end{cases} \quad (19)$$

و بنابراین سیگنال کنترلی ولتاژ با جایگذاری در (۱۲) به صورت زیر به دست می آید

$$V_{ni}^* = \int [-\theta_{iv}^u C_v \sum a_{ij}(v_{oi} - \theta_{jv}^x v_{oj}^c) + g_i(v_{oi} - v_{ref}) + \dot{Q}_i] dt \quad (20)$$

و به همین ترتیب کنترل کننده فرکانس با حمله سایبری به صورت زیر بازنویسی می گردد

$$\omega_{ni}^* = \int (u_{oi}^c + u_{pi}^c) dt \quad (21)$$

با جایگذاری مقادیر (۱۸) در (۲۱)، ورودی کنترلی به دست می آید

$$\begin{aligned} \omega_{ni}^* = \int & [-\theta_{io}^u C_\omega [a_{ij}(\omega_{oi} - \theta_{j\omega}^x \omega_{oj}^c) + g_i(\omega_{oi} - \omega_{ref}) \\ & - \theta_{ip}^u C_p [a_{ij}(m_{pi} P_i - m_{pj} \theta_{jp}^x P_j^c)] dt \end{aligned} \quad (22)$$

۶- اثبات پایداری

با فرض حمله DoS در کانال ارتباطی، سیگنال کنترلی با وجود حمله سایبری بر اساس سیگنال خطا به صورت (۲۳) به دست می آید. در این مقاله حمله سایبری در کنترل ثانویه برای سنسورها در نظر گرفته نشده است، یعنی $\theta_{iv}^x(t), \theta_{io}^x(t), \theta_{ip}^x(t) = 1$ می باشد. با در نظر گرفتن (۱۸) و (۱۹)، روابط زیر به دست می آید

$$\begin{aligned} u_{vi}^c &= -\theta_{iv}^u C_v e_{vi} \\ e_{vi} &= \sum a_{ij}(v_{oi}(t) - v_{oj}(t)) + g_i(v_{oi}(t) - v_{ref}) \\ u_{vi}^c &= -\theta_{iv}^u C_v [\sum a_{ij}(v_{oi}(t) - v_{oj}(t)) + g_i(v_{oi}(t) - v_{ref})] \end{aligned} \quad (23)$$

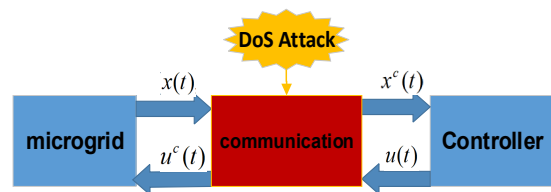
برای اثبات پایداری رابطه بالا، لم ۱، لم ۲ و قضیه در ادامه در نظر گرفته می شود. در [۳۷] و [۳۸] توضیحات جامعی در رابطه با لم ۱ و ۲ برای سنکرون سازی سیستم های خطی آمده که در این مقاله از آنها برای سنکرون سازی منابع تولید پراکنده استفاده گردیده است. در ابتدا برای سنکرون سازی، سیگنال عدم تطابق به صورت (۲۴) تعریف می گردد

$$\delta = v_{od} - v_{ref} \quad (24)$$

لم ۱: فرض کنید گراف G یک درخت پیوسته بوده و حداقل یک گره ریشه $g_i \neq 0$ داشته باشد. ارتباط خطای سیستم و سیگنال عدم تطابق به صورت $e = (L + G)\delta$ تعریف می شود و بنابراین

$$\sigma_{\min}(L + G) \|\delta\| \leq \|e\| \Rightarrow \|\delta\| \leq \frac{\|e\|}{\sigma_{\min}}(L + G) \quad (25)$$

در این فرمول σ_{\min} مقدار ویژه مینیمم ماتریس $L + G$ است. در این صورت e برابر صفر است، اگر و فقط اگر همه گره ها سنکرون باشند.



شکل ۷: تغییرات حالت و ورودی کنترل کننده DG در اثر حمله سایبری DoS.

در این مقاله حمله DoS باعث قطع شدن لینک های ارتباطی می گردد و حمله به a_{ij} یعنی لینک های ارتباطی بین عامل ها وارد می شود. حمله ممکن است باعث شود که لینک ارتباطی قطع شده و تعدادی از گره ها مجزا شوند و یا یک گره کلاً از دسترس خارج گردد. اگر حمله سایبری باعث شود که یک DG از دسترس خارج شود، امکان کنترل آن به این شیوه وجود ندارد.

شکل ۷ تغییرات حالت ها و عملگرها را در اثر حمله سایبری DoS نشان می دهد. با توجه به شکل در صورت حمله در انتقال اطلاعات از شبکه های ارتباطی، سیگنال حالت و کنترلی تغییر می کنند.

برای تحلیل درست منابع تولید پراکنده با در نظر گرفتن حمله های سایبری، ابتدا فرمول بندی مسأله ارائه می گردد. مقادیر گره ها در صورت حمله سایبری DoS با توجه به شکل ۷ به صورت رابطه زیر نشان داده می شوند

$$\begin{cases} x^c(t) = \theta^x(t)x(t) \\ u^c(t) = \theta^u(t)u(t) \end{cases} \quad (14)$$

که $\theta^x(t)$ و $\theta^u(t)$ ماتریس های قطری هستند و به ترتیب برای مشخص شدن حمله DoS به حالت ها و ورودی کنترلی تعریف شده اند و می توان هر دو را در یک ماتریس به صورت $\theta = \text{diag}(\theta^x(t), \theta^u(t))$ در نظر گرفت. مقادیر $x^c(t)$ ، $u^c(t)$ و $x(t)$ و $u(t)$ به ترتیب مقادیر حالت و ورودی کنترل کننده با وجود حمله و بدون حمله هستند. در سیستم بدون حمله سایبری DoS، ضرایب $\theta^x(t), \theta^u(t) = 1$ و با وجود حمله $\theta^x(t), \theta^u(t) = 0$ هستند. با توجه به شکل ۷ حمله سایبری DoS باعث تغییر مقادیر حالت ها و عملگرها به صورت زیر می گردد

$$\dot{x} = Ax + Bu^c(t)x + ch(x(t), w(t)) \quad (15)$$

با در نظر گرفتن $u = kx^c(t) = k\theta^x(t)x(t)$

$$\dot{x} = Ax + B\theta^u(t)k\theta^x(t)x + ch(x(t), w(t)) \quad (16)$$

و در نتیجه، ماتریس سیستم مختل شده به صورت رابطه $A^c(\theta(t)) = A + B\theta^u(t)k\theta^x(t)$ درمی آید

$$\dot{x}(t) = A^c(\theta(t))x(t) + ch(x(t), w(t)) \quad (17)$$

با توجه به ایده بالا و با توجه به (۹) تا (۱۲)، ورودی کنترلی و مقادیر سنسوری با وجود حمله سایبری DoS به صورت زیر به دست می آید

$$\begin{cases} u_{vi}^c = \theta_{iv}^u(t)u_{vi} \\ u_{oi}^c = \theta_{io}^u(t)u_{oi} \\ u_{pi}^c = \theta_{ip}^u u_{pi} \\ \omega_{oj}^c = \theta_{j\omega}^x \omega_{oj}^c(t) \\ v_{oj}^c = \theta_{jv}^x v_{oj}^c(t) \\ P_j^c = \theta_{jp}^x P_j \end{cases} \quad (18)$$

$$\dot{v}_{od} = u_v^c = -C_v \theta_v^c e_{vi} \quad (31)$$

$$\dot{V} = e_v^T (D+G)(L+G)\delta = e_v^T (D+G)(L+G)\dot{v}_{od}$$

از دو معادله بالا نتیجه گرفته می‌شود

$$\dot{V} = e^T (D+G)(L+G)(-C_v \theta_v^c e_{vi}) \quad (32)$$

$$X = (D+G)(L+G)\theta_v^c \quad (33)$$

$$\dot{V} = -C_v e_v^T X e_v$$

هر ماتریس مربعی را می‌توان به صورت جمع دو ماتریس زیر نوشت

$$X = \frac{1}{2}[X+X^T] + \frac{1}{2}[X-X^T] \quad (34)$$

با جایگذاری در (۳۳)، (۳۳) $\dot{V} = -C_v \{e_v^T [\frac{1}{2}(X+X^T) + \frac{1}{2}(X-X^T)]e_v\}$ ،
و با توجه به این که $e_v^T \frac{X-X^T}{2} e_v = 0$ است

$$\dot{V} = -\frac{C_v}{2} e_v^T (X+X^T) e_v \quad (35)$$

با توجه به لم ۲، $Q = X+X^T$ مثبت معین است و بنابراین

$$\dot{V} = -\frac{C_v}{2} e_v^T Q e_v \leq 0 \quad (36)$$

با توجه به منفی بودن مشتق تابع لیاپانوف، خطای e_v پایدار مجانبی است.

با توجه به لم ۱ اگر e_v پایدار مجانبی باشد، بردار δ نیز پایدار مجانبی است و V_{di} به V_{ref} سنکرون می‌شود. برای اثبات سنکرون‌سازی مجانبی باید اثبات کنیم که خطای حالت ماندگار صفر می‌شود و $\lim_{t \rightarrow \infty} e \rightarrow 0$.

فرمول $V = \frac{1}{2} e^T D e$ و $\dot{V} = -\frac{C_v}{2} e_v^T Q e_v$ را در نظر بگیرید

$$\dot{V} \leq -\frac{C_v}{2} \sigma_{\min}(Q) \|e\|^2 \leq -\frac{C_v}{2} \frac{\sigma_{\min}(Q)}{\sigma_{\max}(D)} V = -\gamma V$$

$$\rightarrow V \leq e^{-\gamma t} V(t) \quad (37)$$

$$\lim_{t \rightarrow \infty} e^{-\gamma t} V(t) \rightarrow 0 \Rightarrow \lim_{t \rightarrow \infty} V \rightarrow 0 \Rightarrow e \rightarrow 0 \Rightarrow \delta \rightarrow 0$$

که σ_{\max} و σ_{\min} به ترتیب مینیمم و ماکسیمم مقدار ویژه می‌باشند. نتیجه می‌شود که سنکرون‌سازی انجام می‌گردد و یکی از اهداف سیستم به عنوان سیستم چندعامله تحقق می‌یابد. همچنین هرچه C_v بزرگ‌تر باشد، سرعت سنکرون‌سازی مناسب‌تر است و بنابراین با انتخاب مناسب C_v و تأثیر آن در u_v ، سنکرون‌سازی بهینه‌ای انجام می‌پذیرد. □

با اثبات بالا نتیجه می‌گیریم که در صورت پیوستگی درخت و این که حداقل یکی از منابع تولید پراکنده به شین اسلک وصل باشد، این کنترل‌کننده حتی با حمله سایبری DoS پایداری سیستم را حفظ می‌کند و می‌تواند به صورت یک سیستم چندعامله ولتاژ و فرکانس همه DGها را یکسان کند.

۷- نتایج شبیه‌سازی

برای شبیه‌سازی از یک مدل نمونه طبق [۴] با شکل ۸ استفاده گردیده و DG۱ به عنوان شین مرجع یا اسلک در نظر گرفته شده است. پارامترهای این DGها (شامل ۴ منبع توزیع‌شده) در جدول ۱ آمده است.

توجه: اگر همه گره‌ها سنکرون باشند، در نتیجه $\|\delta\| \rightarrow 0$ و بنابراین $v_{od} = v_{ref}$ است (علاوه بر سنکرون‌بودن، مقادیر برابر با v_{ref} می‌گردند). پس یکی از اصلی‌ترین شرایط برای برقراری قوانین رینولد برقرار می‌شود. اثبات لم ۱: بردار خطای کل به صورت زیر در نظر گرفته می‌شود

$$e_v = (L+G)(v_{od} - v_{ref}) = (L+G)\delta \quad (26)$$

که در رابطه بالا $v_{od} = [v_{od1} \ v_{od2} \ \dots \ v_{odn}]^T$ و $e_v = [e_{v1} \ e_{v2} \ \dots \ e_{vn}]^T$ به صورت ماتریس هستند. $v_{ref} = 1_N \otimes v_{ref}$ که 1_N بردار یک با طول N است و \otimes ضرب کرونکر می‌باشد. بردار G ماتریس قطری با مقدار قطر g_i و L ماتریس لاپلاسیان است. با استفاده از (۲۶) بر اساس قوانین نرم تابع داریم

$$\|e_v\| = \|L+G\|\|\delta\|$$

$$\sigma_{\min}(L+G) \leq \|L+G\| \leq \sigma_{\max}(L+G)$$

$$\|e\| = \|L+G\|\|\delta\| \Rightarrow \|e\| \geq \sigma_{\min}(L+G)\|\delta\| \quad (27)$$

$$\|\delta\| \leq \frac{\|e\|}{\sigma_{\min}(L+G)}$$

با توجه به رابطه بالا، اگر $\|e\| \rightarrow 0$ برود، آن گاه $\|\delta\| \rightarrow 0$ می‌رود ($v_{di} = v_{ref}$) و سنکرون‌سازی انجام می‌گردد. همچنین در صورت سنکرون‌سازی، $\delta = v_{di} - v_{ref} = 0$ و با توجه به (۲۶) خطا صفر می‌شود. □

لم ۲: فرض کنید گراف مستقیم G یک درخت پیوسته و برای حداقل یکی از گره‌های ریشه، $g_i \neq 0$ است. ماتریس $D+G$ را در نظر بگیرید. با توجه به این که $D+G = (D+G)^T$ و $A = L+G$ است، در این صورت $Q = (D+G)A + A^T(D+G)$ مثبت معین است [۳۸]. توجه: $D+G$ در (۲) و (۴) تعریف گردیده و ماتریس مثبت معین است و به همین دلیل در معادله بالا استفاده شده است.

قضیه ۱: فرض کنید که G یک درخت پیوسته است و حداقل برای یکی از منابع تولید پراکنده، $g_i \neq 0$ باشد. اگر ورودی کنترلی ثانویه u_{vi} به صورت $u_{vi}^c = -C_v \theta_{vi}^c e_{vi}$ تعریف شود، در این صورت خطای e در $e = (L+G)\delta$ پایدار مجانبی است. همچنین ولتاژ خروجی DG ها به v_{ref} سنکرون می‌شوند.

اثبات: از معادله قبل، بردار $e_v = [u_{v1} \ u_{v2} \ \dots \ u_{vn}]^T = -C_v e_v$ تعریف می‌گردد و به منظور اثبات پایداری، تابع کاندیدای لیاپانوف به صورت زیر در نظر گرفته می‌شود

$$V = \frac{1}{2} e_v^T (D+G) e_v$$

$$D+G = (D+G)^T \quad (28)$$

$$D+G > 0$$

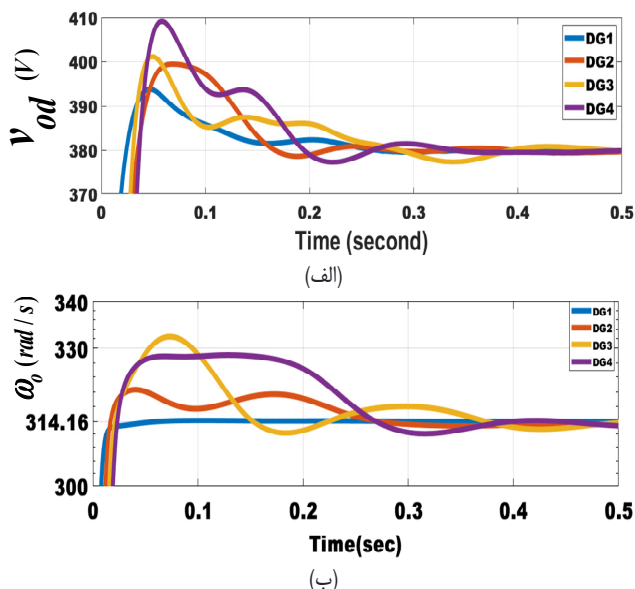
با توجه به این که $\dot{e}_v = (D+G)e_v$ و $(e_v^T (D+G)\dot{e}_v)^T = \dot{e}_v^T (D+G)e_v$ می‌باشد، مشتق تابع لیاپانوف برابر است با

$$\dot{V} = \frac{1}{2} \dot{e}_v^T (D+G) e_v + \frac{1}{2} e_v^T (D+G) \dot{e}_v = e_v^T (D+G) \dot{e}_v \quad (29)$$

با توجه به (۲۴) و (۲۵) و با در نظر گرفتن حمله سایبری DoS در معادله‌های خروجی، معادله مشتق خطا به صورت زیر به دست می‌آید

$$\dot{e}_v = (L+G)\delta = (L+G)\dot{v}_{od} \quad (30)$$

با توجه به (۹)، (۱۰) و (۱۸) و جایگذاری آنها در (۲۹)، مشتق لیاپانوف به دست می‌آید



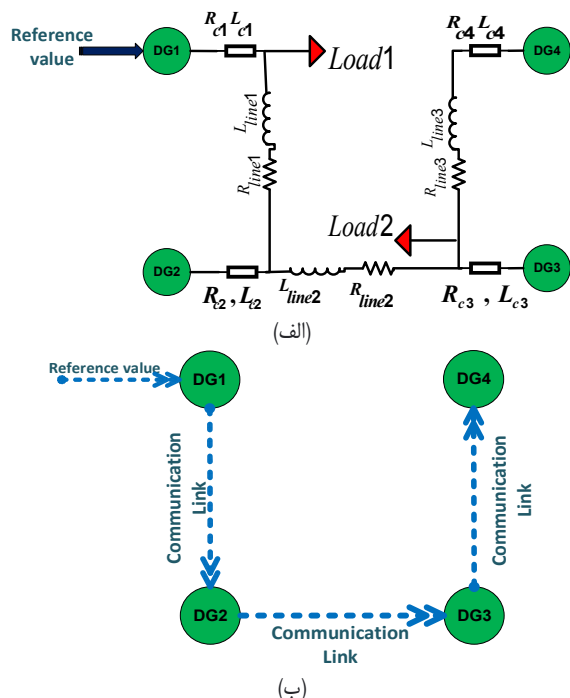
شکل ۹: (الف) ولتاژ خروجی و (ب) فرکانس زاویه‌ای خروجی DGها بدون حمله سایبری، اغتشاش و نویز.

سناریوی اول: عملکرد کنترل کننده اولیه و ثانویه بدون اغتشاش، نویز و حملات سایبری

در ابتدا خروجی، بدون وارد کردن اغتشاش، نویز یا حمله سایبری در نظر گرفته می‌شود تا عملکرد کنترل کننده طراحی شده مشخص گردد. شکل ۹-الف و ۹-ب خروجی ولتاژ و فرکانس با کنترل کننده ثانویه و اولیه را در این حالت نشان می‌دهند. با توجه به نتایج، کنترل کننده توانسته که به خوبی فرکانس و ولتاژ را به حالت مرجع خود برگرداند و در رنج بسیار خوبی قرار دهد. زمان عبور از حالت گذرا کمتر از ۰/۳ ثانیه بوده که زمان مناسبی می‌باشد و مقدار بالازدگی سیستم به نحوی است که قابل تحمل می‌باشد و نیاز به خارج کردن بارها از شبکه نداریم. همچنین سنکرون سازی بسیار خوب انجام شده است.

سناریوی دوم: حمله سایبری DoS بین DG۳ و DG۴

در این سناریو بررسی می‌شود که این کنترل کننده چقدر می‌تواند در برابر حمله سایبری DoS از خود مقاومت نشان داده و حمله را کنترل کند. برای تحلیل بهتر، حمله سایبری در لینک‌های مختلف بررسی می‌گردد. اگر حمله سایبری در کانال ارتباطی بین DG۳ و DG۴ اتفاق بیفتد، از ریز شبکه سوم به چهارم اطلاعاتی نمی‌رسد. در اینجا فرض شده که از زمان ۰/۶ تا ۰/۸ ثانیه حمله سایبری اتفاق افتاده و لینک ارتباطی را در این زمان قطع می‌کند. نتایج در شکل ۱۰ نشان داده شده است. سیستم کنترل کننده با توجه به نتایج، توانایی کنترل خروجی‌های DG۱، DG۲ و DG۳ را دارد، ولی با توجه به این که DG۴ از شبکه قطع می‌گردد و اطلاعاتی به آن نمی‌رسد، ارتباطش با گره اسلک قطع شده و این منبع نمی‌تواند در زمان حمله، مقادیر خروجی را بازیابی کند. هر وقت حمله سایبری باعث شود که پیوستگی گراف از بین برود، آن منبع از مدار خارج می‌شود و از نظر سیستم‌های چندعامله، علت اصلی که DG۴ در زمان حمله از پایداری خارج شده است، آن است که در این حالت منبع تولید پراکنده از شین اسلک جدا می‌گردد. اما با توجه به شکل ۱۰، DGهای اول، دوم و سوم توانستند با وجود حمله سایبری DoS به پایداری برسند و سنکرون سازی را انجام دهند. همچنین بعد از اتمام حمله خروجی، همه منابع تولید پراکنده بعد از چند لحظه به مقدار قبلی برگشته و خروجی‌ها بازیابی می‌گردند. نکته مهم دیگر این که حمله در این حالت در DG۳



شکل ۸: (الف) مدل نمونه شبیه سازی شده اتصال سیستم قدرتی و (ب) به همراه لینک‌های مخابراتی.

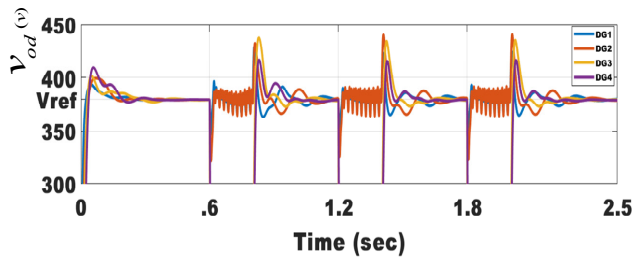
جدول ۱: مقادیر پارامترهای مدل نمونه شبیه سازی شده [۴].

DG۱ و DG۲	DG۳ و DG۴	
$n_q = 1,3 \times 10^{-7}$	$n_q = 1,5 \times 10^{-7}$	
$m_p = 9,4 \times 10^{-5}$	$m_p = 12,5 \times 10^{-5}$	
$R_{c1,r} = 0,3 \Omega$	$R_{c3,r} = 0,3 \Omega$	
$L_{c1,r} = 0,35 \text{ mH}$	$L_{c3,r} = 0,35 \text{ mH}$	
$K_{pv} = 1$	$K_{pv} = 1$	
$K_{Iv} = 4$	$K_{Iv} = 4$	
$K_{PC} = 15$	$K_{PC} = 10,5$	
$K_{IC} = 200$	$K_{IC} = 160$	
$R_{line1} = 0,73 \Omega$	$R_{line2} = 0,73 \Omega$	$R_{line3} = 0,73 \Omega$
$L_{line1} = 0,7318 \text{ mH}$	$L_{line2} = 1,847 \text{ mH}$	$L_{line3} = 0,7318 \text{ mH}$
$P_{load1}(\text{per phase}) = 12 \text{ Kw}$	$Q_{load1}(\text{per phase}) = 12 \text{ Kvar}$	
$P_{load2}(\text{per phase}) = 15,3 \text{ Kw}$	$Q_{load2}(\text{per phase}) = 17,6 \text{ Kvar}$	

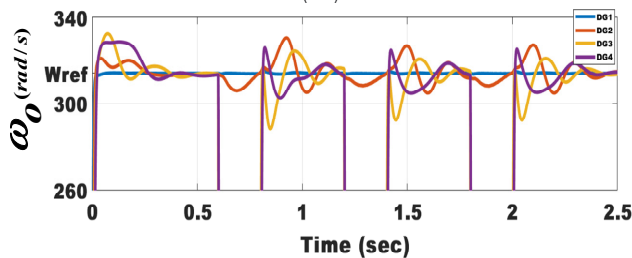
۳- ب می‌باشند. R_{ci} و L_{ci} اندوکتانس و مقاومت رابط‌های خروجی DG_i می‌باشند. همچنین خطوط بین DGها با یک شاخه RL سری مدل شده و R_{line} و L_{line} مقاومت و اندوکتانس آنها هستند و نیز بارها به صورت $P_{load} + jQ_{load}$ در نظر گرفته شده‌اند. K_{PV} ، K_{IV} ، K_{PC} ، K_{IC} ضرایب کنترل کننده ولتاژ و جریان در شکل ۱ و شکل ۳- ب می‌باشند.

در این مدل، ولتاژ مرجع ۳۸۰ ولت و فرکانس مرجع ۵۰ هرتز (فرکانس زاویه‌ای $\omega_{ref} = 2\pi f_{ref} = 314,16 \text{ rad/sec}$) در نظر گرفته شده است. منابع تولید پراکنده به دو طریق قدرتی و مخابراتی با هم ارتباط دارند. در شکل ۸-الف توپولوژی قدرتی و همچنین توپولوژی ارتباطی آن در شکل ۸-ب آمده است. به منظور تحلیل بهتر سیستم، نتایج شبیه سازی در محیط سیمولینک متلب به صورت سناریوهای مختلف مورد ارزیابی قرار گرفته است.

1. Output Connector

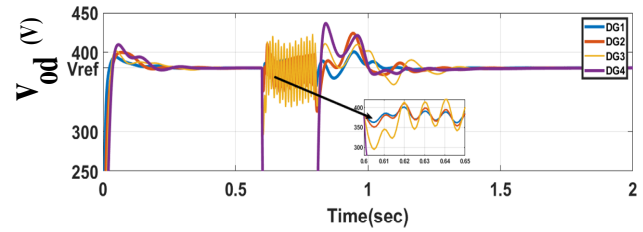


(الف)

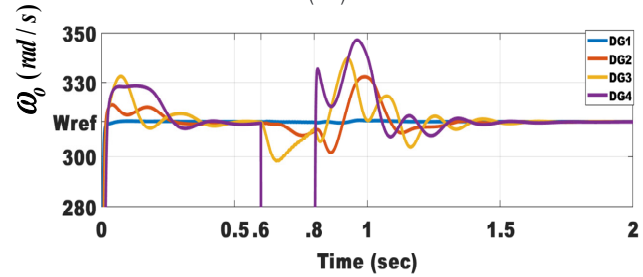


(ب)

شکل ۱۰: (الف) ولتاژ و (ب) فرکانس خروجی منابع تولید پراکنده با حملات سایبری DoS متناوب بین کانال ارتباطی DG۳ و DG۲.



(الف)



(ب)

شکل ۱۱: (الف) ولتاژ و (ب) فرکانس زاویه‌ای خروجی منابع تولید پراکنده با حمله سایبری DoS در لینک ارتباطی بین DG۳ و DG۴.

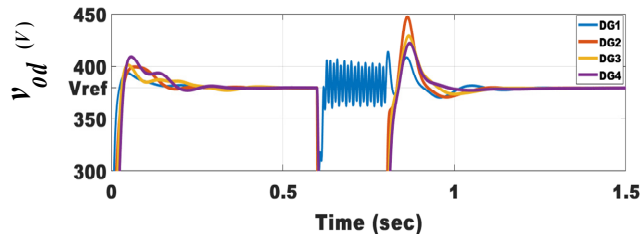
سناریوی چهارم: حمله سایبری DoS متناوب در لینک ارتباطی بین DG۳ و DG۴

در این سناریو، حمله DoS متناوب با دوره تناوب ۰/۶ ثانیه بین لینک‌های ارتباطی منبع تولید پراکنده دوم و سوم اتفاق می‌افتد. این سناریو برای بررسی توانایی روش کنترلی ارائه‌شده در قطع و وصل‌های پیوسته و همچنین در مقابل یک حمله سایبری شدیدتر است. نتایج این شبیه‌سازی در شکل ۱۲ آمده است. با توجه به شکل و این که DG۳ و DG۴ در هر بار حمله از باس اسلک قطع می‌شوند، به همین دلیل خروجی‌ها به مقدار مرجع در زمان حمله بازمی‌گردند. بعد از رفع حمله، حدود ۰/۴ ثانیه طول می‌کشد تا همه منابع بتوانند مقادیر خروجی خود را بازمی‌کنند. عملکرد کنترل‌کننده در مقابله این حمله شدید نیز بسیار خوب ارزیابی می‌گردد و به محض اتمام حمله توانسته تا خروجی‌ها را بازمی‌کند و سنکرون کند.

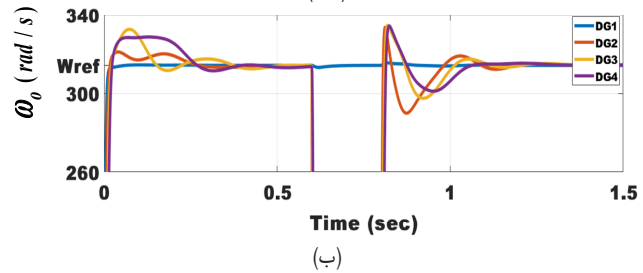
با توجه به نتایج شبیه‌سازی، اگر حمله سایبری باعث شود تا ارتباط هر منبع تولید پراکنده با عامل ریشه قطع گردد، آن منبع از مدار خارج می‌شود، ولی اگر حمله سایبری DoS در لینک‌هایی اتفاق بیفتد که پیوستگی درخت قطع نشود، می‌توان مقادیر ولتاژ و فرکانس بقیه را با مقدار مرجع هماهنگ کرد و پایداری سیستم حفظ می‌گردد.

۸- نتیجه‌گیری

در این مقاله با در نظر گرفتن منابع تولید پراکنده به صورت سیستم‌های چندعامله، در مورد کنترل و سنکرون‌سازی ریزشبه‌بکه بحث گردید و به منظور تحلیل این منابع و همچنین لینک‌های ارتباطی بین آنها از تئوری گراف استفاده شد. از کنترل‌کننده سلسه‌مراتبی توزیع‌شده اشتراکی که شامل کنترل‌کننده اولیه و ثانویه است برای کنترل DGها استفاده گردید و نتایج نشان می‌دهند که کنترل‌کننده، بدون حمله سایبری و اغتشاش، هم پایداری و هم سنکرون‌سازی ریزشبه‌بکه را حفظ می‌کند و قوانین سیستم‌های چندعامله ریموند با این کنترل‌کننده رعایت می‌گردد و نهایتاً ولتاژ و فرکانس همه منابع توزیع پراکنده با هم برابر می‌شوند. سپس به عنوان نوآوری مقاله، حمله سایبری منع سرویس در معادلات منابع تولید پراکنده با کنترل‌کننده سلسه‌مراتبی توزیع‌شده وارد گردید و اثرات



(الف)



(ب)

شکل ۱۲: (الف) ولتاژ و (ب) فرکانس خروجی منابع تولید پراکنده با حملات سایبری DoS بین کانال ارتباطی DG۱ و DG۲.

بیشتر از بقیه منابع تأثیر می‌گذارد و به ترتیب DG۲ و DG۱ اثرپذیری دارند. این نتیجه نشان می‌دهد که هر قدر به مبدأ حمله نزدیک‌تر باشند، اثرپذیری بیشتری دارند.

سناریوی سوم: حمله سایبری DoS در لینک ارتباطی بین DG۱ و DG۲

در این سناریو فرض شده که حمله بین لینک‌های منبع تولید پراکنده اول و دوم اتفاق بیفتد و ارتباط بین این لینک‌ها از ۰/۶ تا ۰/۸ قطع می‌گردد. نتایج این شبیه‌سازی در شکل ۱۱ آمده است. با توجه به شکل مشخص است که با توجه به این که DG۲، DG۳ و DG۴ از باس اسلک قطع می‌شوند، به همین دلیل خروجی این منابع به مقدار مرجع در زمان حمله بازمی‌گردد. در نتیجه درخت پیوستگی خود را از دست می‌دهد و آن منابع، رها و کلاً از مدار خارج می‌شوند. در این حالت از بین منابع موجود، فقط منبع اول توانسته است تا به پایداری قابل قبولی برسد و عملیات سنکرون‌سازی در حین حمله را انجام دهد. ولی بعد از رفع حمله، همه منابع توانسته‌اند که مقادیر خروجی خود را بازمی‌کنند و نشان می‌دهد که کنترل‌کننده به خوبی می‌تواند به حالت سنکرون خود برگردد.

- approach," *IEEE Trans. on Industrial Informatics*, vol. 12, no. 5, pp. 1786-1794, Oct. 2016.
- [14] H. Modares, B. Kiumarsi, F. L. Lewis, F. Ferrese, and A. Davoudi, "Resilient and robust synchronization of multiagent systems under attacks on sensors and actuators," *IEEE Trans. on Cybernetics*, vol. 50, no. 3, pp. 1240-1250, Mar. 2020.
- [15] X. M. Zhang, Q. L. Han, X. Ge, and L. Ding, "Resilient control design based on a sampled-data model for a class of networked control systems under denial-of-service attacks," *IEEE Trans. on Cybernetics*, vol. 50, no. 8, pp. 3616-3626, Aug. 2020.
- [16] A. Teixeira, D. Pérez, H. Sandberg, and K. H. Johansson, "Attack models and scenarios for networked control systems," in *Proc. of the 1st Int. Conf. on High Confidence Networked Systems, HiCoNS'12*, pp. 55-64, Beijing, China, 17-18 Apr. 2012.
- [17] E. Mousavinejad, F. Yang, Q. L. Han, and L. Vlacic, "A novel cyber attack detection method in networked control systems," *IEEE Trans. on Cybernetics*, vol. 48, no. 11, pp. 3254-3264, Nov. 2018.
- [18] S. Zuo, T. Altun, F. L. Lewis, and A. Davoudi, "Distributed resilient secondary control of DC microgrids against unbounded attacks," *IEEE Trans. on Smart Grid*, vol. 11, no. 5, pp. 3850-3859, Sept. 2020.
- [19] B. Wang, Q. Sun, and D. Ma, "A periodic event-triggering reactive power sharing control in an islanded microgrid considering DoS attacks," in *Proc. of the 15th IEEE Conf. on Industrial Electronics and Applications, ICIEA'20*, pp. 170-175, Kristiansand, Norway, 9-13 Nov. 2020.
- [20] R. Lu and J. Wang, "Distributed control for AC microgrids with false data injection attacks and time delays," in *Proc. of the E3S Web of Conf.*, vol. 194, Article ID: 03023, Shanghai, China, 18-20 Sept. 2020.
- [21] S. Tan, P. Xie, J. M. Guerrero, and J. C. Vasquez, "False data injection cyber-attacks detection for multiple DC microgrid clusters," *Applied Energy*, vol. 310, Article ID: 118425, Mar. 2022.
- [22] C. De Persis and P. Tesi, "Input-to-state stabilizing control under denial-of-service," *IEEE Trans. on Automatic Control*, vol. 60, no. 11, pp. 2930-2944, Nov. 2015.
- [23] B. Wang, Q. Sun, R. Han, and D. Ma, "Consensus-based secondary frequency control under denial-of-service attacks of distributed generations for microgrids," *J. of the Franklin Institute*, vol. 358, no. 1, pp. 114-130, Jan. 2019.
- [24] P. Chen, S. Liu, B. Chen, and L. Yu, "Multi-agent reinforcement learning for decentralized resilient secondary control of energy storage systems against DoS attacks," *IEEE Trans. on Smart Grid*, vol. 13, no. 3, pp. 1739-1750, May 2022.
- [25] A. Karimi, A. Ahmadi, Z. Shahbazi, H. Bevrani, and Q. Shafiee, "On the impact of cyber-attacks on distributed secondary control of DC microgrids," in *Proc. 10th of the IEEE Smart Grid Conf., SGC'20*, 6 pp., Kashan, Iran, 16-17 Dec. 2020.
- [26] X. Chen, J. Zhou, M. Shi, Y. Chen, and J. Wen, "Distributed resilient control against denial of service attacks in DC microgrids with constant power load," *Renewable and Sustainable Energy Reviews*, vol. 153, Article ID: 111792, Jan. 2022.
- [27] S. Liu, Z. Hu, X. Wang, and L. Wu, "Stochastic stability analysis and control of secondary frequency regulation for islanded microgrids under random denial of service attacks," *IEEE Trans. on Industrial Informatics*, vol. 15, no. 7, pp. 4066-4075, Jul. 2018.
- [28] N. Pogaku, M. Prodanovic, and T. C. Green, "Modeling, analysis and testing of autonomous operation of an inverter-based microgrid," *IEEE Trans. on Power Electronics*, vol. 22, no. 2, pp. 613-625, Mar. 2007.
- [29] A. Bidram, A. Davoudi, F. L. Lewis, and J. M. Guerrero, "Distributed cooperative secondary control of microgrids using feedback linearization," *IEEE Trans. on Power Systems*, vol. 28, no. 3, pp. 3462-3470, Aug. 2013.
- [30] J. W. Simpson-Porco, et al., "Secondary frequency and voltage control of islanded microgrids via distributed averaging," *IEEE Trans. on Industrial Electronics*, vol. 62, no. 11, pp. 7025-7038, Nov. 2015.
- [31] H. Z. Frank L. Lewis, Kristian Hengster-Movric, and A. Das, *Cooperative Control of Multi-Agent Systems Optimal and Adaptive Design Approaches*, SpringerLink, 2014.
- [32] F. Guo, C. Wen, J. Mao, J. Chen, and Y. D. Song, "Distributed cooperative secondary control for voltage unbalance compensation in an islanded microgrid," *IEEE Trans. on Industrial Informatics*, vol. 11, no. 5, pp. 1078-1088, Oct. 2015.
- [33] H. Cai, F. L. Lewis, G. Hu, and J. Huang, "The adaptive distributed observer approach to the cooperative output regulation of linear multi-agent systems," *Automatica*, vol. 75, pp. 299-305, Jan. 2017.

این حمله سایبری مورد بررسی قرار گرفت. به منظور تحلیل پایداری سیستم، تابع لیاپانوف مناسب با حضور حمله سایبری منع سرویس پیشنهاد گردید و با کمک فرمول‌بندی ریاضی، پایداری آن اثبات شد. همچنین برای اثبات سنکرون‌سازی ولتاژ و فرکانس خروجی منابع مختلف، لم‌های مناسب با شرایط حمله سایبری ارائه شد و شرایط پایداری و سنکرون‌سازی به دست آمد.

نهایتاً برای اطمینان از نتایج تئوری با استفاده از شبیه‌سازی در محیط سیمولینک نرم‌افزار متلب، اثر حمله در لینک‌های مختلف برای یک شبکه نمونه نشان داده شده است. با توجه به نتایج شبیه‌سازی در صورت حمله سایبری منع سرویس و به شرط پیوستگی درخت در نظر گرفته شده از لینک‌های ارتباطی، این کنترل کننده توانسته است که پایداری را حفظ کند و همچنین مقادیر فرکانس و ولتاژ با مقادیر مرجع هماهنگ می‌گردند. DG‌هایی که به گره اسلک وصل نباشند، ناپایدار شده و باید از مدار خارج شوند. نتایج حاصل از شبیه‌سازی نشان می‌دهند که هر قدر اطلاعات بیشتری از سیستم DG همجوار داشته باشیم، این روش کنترلی بهتر پایداری را حفظ خواهد کرد.

مراجع

- [1] S. M. Azimi and S. Lotfifard, "Supplementary controller for inverter-based resources in weak power grids," *IEEE Trans. on Smart Grid*, vol. 13, no. 4, pp. 2886 - 2896, Jul. 2022.
- [2] S. Derakhshan, M. Shafiee-Rad, Q. Shafiee, and M. R. Jahed-Motlagh, "Decentralized robust voltage control of islanded AC microgrids: an LMI-based H_∞ approach," in *Proc. 11th IEEE Power Electronics, Drive Systems, and Technologies Conf., PEDSTC'20*, 6 pp., Tehran, Iran, 4-6 Feb. 2020.
- [3] A. Bidram and A. Davoudi, "Hierarchical structure of microgrids control system," *IEEE Trans. on Smart Grid*, vol. 3, no. 4, pp. 1963-1976, Dec. 2012.
- [4] A. Bidram, F. L. Lewis, and A. Davoudi, "Distributed control systems for small-scale power networks: using multiagent cooperative control theory," *IEEE Control Systems Magazine*, vol. 34, no. 6, pp. 56-77, Dec. 2014.
- [5] Q. Shafiee, J. M. Guerrero, and J. C. Vasquez, "Distributed secondary control for islanded microgrids-a novel approach," *IEEE Trans. on Power Electronics*, vol. 29, no. 2, pp. 1018-1031, Feb. 2014.
- [6] A. Bidram, A. Davoudi, F. L. Lewis, and Z. Qu, "Secondary control of microgrids based on distributed cooperative control of multi-agent systems," *IET Generation, Transmission & Distribution*, vol. 7, no. 8, pp. 822-831, Aug. 2013.
- [7] Z. Shahbazi, A. Ahmadi, A. Karimi, and Q. Shafiee, "Performance and vulnerability of distributed secondary control of AC microgrids under cyber-attack," in *Proc. 7th IEEE Int. Conf. on Control, Instrumentation and Automation, ICCIA'21*, 6 pp., Tabriz, Iran, 23-24 Feb. 2021.
- [8] X. Wang and M. Lemmon, "On event design in event-triggered feedback systems," *Automatica*, vol. 47, no. 10, pp. 2319-2322, Oct. 2011.
- [9] Z. Gu, Z. Huan, D. Yue, and F. Yang, "Event-triggered dynamic output feedback control for networked control systems with probabilistic nonlinearities," *Information Sciences*, vol. 457-458, pp. 99-112, Aug. 2018.
- [10] Y. L. Wang, P. Shi, C. C. Lim, and Y. Liu, "Event-triggered fault detection filter design for a continuous-time networked control system," *IEEE Trans. on Cybernetics*, vol. 46, no. 12, pp. 3414-3426, Dec. 2016.
- [11] M. S. Mahmoud, M. M. Hamdan, and U. A. Baroudi, "Modeling and control of cyber-physical systems subject to cyber attacks: a survey of recent advances and challenges," *Neurocomputing*, vol. 338, pp. 101-115, Apr. 2019.
- [12] H. Yan, J. Wang, H. Zhang, H. Shen, and X. Zhan, "Event-based security control for stochastic networked systems subject to attacks," *IEEE Trans. on Systems, Man, and Cybernetics: Systems*, vol. 50, no. 11, pp. 4643-4654, Nov. 2018.
- [13] Y. Yuan, H. Yuan, L. Guo, H. Yang, and S. Sun, "Resilient control of networked control system under DoS attacks: a unified game

علی کاظمی تحصیلات خود را در مقاطع کارشناسی ارشد و دکتری مهندسی برق کنترل به ترتیب در سال‌های ۱۳۸۶ و ۱۳۹۲ از دانشگاه علم و صنعت ایران به پایان رسانده است و هم‌اکنون دانشیار دانشکده مهندسی برق دانشگاه تفرش می‌باشد. زمینه‌های تحقیقاتی مورد علاقه ایشان عبارتند از: آنالیز و کنترل سیستم‌های با تاخیر زمانی، سیستم‌های چندعامله، سیستم‌های پیچیده و حملات سایبری.

مهدی رمضانی در سال ۱۳۷۲ مدرک کارشناسی ریاضی کامپیوتر خود را از دانشگاه صنعتی امیرکبیر و در سال ۱۳۷۵ مدرک کارشناسی ارشد ریاضی کاربردی آنالیز عددی خود را از دانشگاه علم و صنعت ایران دریافت نمود. در سال ۱۳۸۵ مدرک دکتری ریاضی کاربردی کنترل بهینه خود را از دانشگاه امیرکبیر دریافت نمود و هم‌اکنون استادیار ریاضی دانشگاه تفرش می‌باشد. زمینه‌های تحقیقاتی مورد علاقه ایشان عبارتند از: کنترل بهینه، کنترل تصادفی، شناسایی سیستم و آنالیز عددی.

سیدمحمد عظیمی تحصیلات خود را در مقاطع کارشناسی ارشد و دکتری برق قدرت به ترتیب در سال‌های ۱۳۸۵ و ۱۳۹۵ از دانشگاه تهران به پایان رسانده است و هم‌اکنون استادیار دانشکده مهندسی برق دانشگاه صنعتی همدان می‌باشد. زمینه‌های تحقیقاتی مورد علاقه ایشان عبارتند از: ریزشبکه، کنترل و پایداری در ریزشبکه‌ها و سیستم‌های قدرت.

- [34] J. C. Vasquez, J. M. Guerrero, J. Miret, M. Castilla, and L. G. De Vicuna, "Hierarchical control of intelligent microgrids," *IEEE Industrial Electronics Magazine*, vol. 4, no. 4, pp. 23-29, Dec. 2010.
- [35] J. P. Lopes, C. Moreira, and A. Madureira, "Defining control strategies for microgrids islanded operation," *IEEE Trans. on Power Systems*, vol. 21, no. 2, pp. 916-924, May 2006.
- [36] A. Kazemy, J. Lam, and Z. Chang, "Adaptive event-triggered mechanism for networked control systems under deception attacks with uncertain occurring probability," *International J. of Systems Science*, vol. 21, no. 7, pp. 1426-1439, 2020.
- [37] H. Zhang, F. L. Lewis, and A. Das, "Optimal design for synchronization of cooperative systems: state feedback, observer and output feedback," *IEEE Trans. on Automatic Control*, vol. 56, no. 8, pp. 1948-1952, Aug. 2011.
- [38] Z. Qu, *Cooperative Control of Dynamical Systems: Applications to Autonomous Vehicles*, Springer Science & Business Media, 2009.

عبدالله میرزابیگی تحصیلات خود را در مقاطع کارشناسی مهندسی برق الکترونیک در سال ۱۳۸۲ از دانشگاه تبریز و کارشناسی ارشد مهندسی برق کنترل در سال ۱۳۸۵ از دانشگاه علم و صنعت ایران به پایان رسانده است و هم‌اکنون دانشجوی دکتری برق کنترل دانشگاه تفرش می‌باشد. زمینه‌های تحقیقاتی مورد علاقه ایشان عبارتند از: ریزشبکه، آنالیز و کنترل سیستم‌های با تاخیر زمانی، سیستم‌های چندعامله و حملات سایبری.